

## Calciumsilicate 의 生成反應에 미치는 $\text{SO}_3$ 의 影響 (I)

林 應 極·朴 炳 哲

서울大學校 大學院 無機材料工學科

(1983年 9月 29日 接受)

## Effect of $\text{SO}_3$ on Calciumsilicate Formation (I)

Eung-Keuk Lim and Byung-Chel Park

Dept. of Inorg. Mater. Eng. Seoul National Univ.

(Received Sept. 29 1983)

### ABSTRACT

In this study, a Comparative investigation of the effect of  $\text{K}_2\text{SO}_4$  and  $\text{CaSO}_4$  on the formation of calcium silicate was made.

$\text{K}_2\text{SO}_4$  had little effect on  $\text{C}_3\text{S}$  formation. More than 4.0 wt.% of  $\text{CaSO}_4$  hindered the reaction of  $\text{C}_2\text{S}$  and  $\text{CaO}$ , so  $\text{C}_3\text{S}$  formation was restrained by forming the reaction rim around  $\text{C}_2\text{S}$  Particles.

And activation energy for  $\text{C}_3\text{S}$  formation was calculated around to be 40 kcal/mol irrespective of the amount of  $\text{K}_2\text{SO}_4$ .

### 1. 서 론

포틀랜드시멘트의 주요 화학성분은  $\text{CaO}$ ,  $\text{SiO}_2$ ,  $\text{Al}_2\text{O}_3$ ,  $\text{Fe}_2\text{O}_3$  등이고, 그 밖에  $\text{MgO}$  alkali,  $\text{SO}_3$  가 함유되어 있으며,  $\text{TiO}_2$ ,  $\text{Mn}_2\text{O}_3$ ,  $\text{P}_2\text{O}_5$ ,  $\text{SrO}$ ,  $\text{Cr}_2\text{O}_3$ ,  $\text{F}^-$ ,  $\text{Cl}^-$  등이 미량 포함되어 있다.

클링커조결반응의 최종단계는  $\text{C}_3\text{S}$ 의 생성이라고 말할 수 있다. 그러나  $\text{C}_3\text{S}$ 는  $\text{CaO}$  와  $\text{SiO}_2$ 가 3:1의 비율로 고상으로 반응하여  $\text{C}_3\text{S}$ 가 생성되는 경우는 극히 드물다.

조합원료는 900 °C 정도에서  $\text{CaCO}_3$ 는 탈탄산되어  $\text{CaO}$ 가 되고, 이것과  $\text{SiO}_2$ 가 반응하여  $\text{C}_2\text{S}$ 가 생성된다. 한편  $\text{CaO}$ ,  $\text{SiO}_2$ ,  $\text{Al}_2\text{O}_3$ ,  $\text{Fe}_2\text{O}_3$ ,  $\text{MgO}$  등의 산화물은 1300 °C 부근에서 액상 생성이 시작되고,  $\text{C}_3\text{S}$ 는  $\text{C}_2\text{S}$ 와  $\text{CaC}$ 가 액상을 매체로 차단되어 생성된다고 알려져 있으며 액상을 이루는 성분과 함량에 따라  $\text{C}_3\text{S}$ 의 생성에 큰 영향을 미친다. 따라서  $\text{C}_2\text{S}$ 가 액상에 용해되고  $\text{CaO}$ 와 반응하여  $\text{C}_3\text{S}$ 가 생성되는 과정에서 액상의 표면장력과 점도는  $\text{C}_3\text{S}$  생성의 중요한 인자인데<sup>1</sup>, 이들은  $\text{SO}_3$ ,  $\text{MgO}$ , alkali 등에 의해 크게 영향을 받

게 된다<sup>2</sup>.

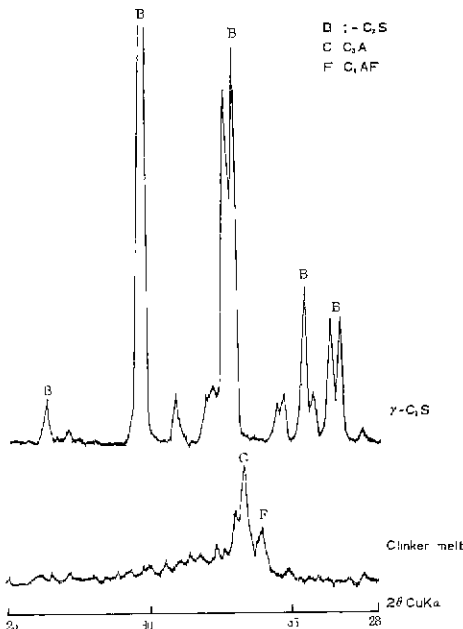
Timashev<sup>3</sup>에 의하면 1450 °C에서  $\text{C}_2\text{S}$ 가 클링커 melt에 용해되는 속도는  $\text{CaO}$ 의 1/3 정도에 불과하다고 보고하였으며, 특히  $\text{SC}_3$ 는 클링커 melt와 서로 섞이지 않는 것으로 알려져 있다<sup>4</sup>. 따라서 본 연구는 클링커 조결반응에서의  $\text{SC}_3$  역할을 규명하기 위하여 sulphate의 종류로  $\text{K}_2\text{SO}_4$ ,  $\text{CaSO}_4$ 의 2종류에 대해서 클링커 melt와 sulphate 액상의 immiscible에 역점을 두어서 두가지 반응에 대하여 model을 설정하고 이를 근거로 추적하였다.

### 2. 실험방법

#### 2.1 출발물질

$\text{C}_3\text{S}$  생성반응을 보기 위한 출발물질로  $\text{C}_2\text{S}$  와 클링커 melt를 제조하였다.

시약 1급품의  $\text{CaCO}_3$ (Junsei),  $\text{SiO}_2$ (Hayashi),  $\text{Al}_2\text{O}_3$ (kanto),  $\text{Fe}_2\text{O}_3$ (Kanto),  $\text{K}_2\text{SO}_4$ (Junsei),  $\text{CaSO}_4 \cdot 2\text{H}_2\text{O}$ (Junsei) 등을 사용하여 이들을 제조하였으며,  $\text{C}_2\text{S}$ 는  $\text{CaCO}_3$ 와  $\text{SiO}_2$ 를 2:1 물비율로 조합하고 불밀에서 8시간 혼합하여 900 °C에서 1시간 탈탄산 시킨 후 백금

Fig. 1. XRD patterns of  $\gamma$ - $C_2S$  and clinker melt

접시에 넣고  $1400^{\circ}\text{C}$ 에서 2시간 소결하여 순수한  $\gamma$ - $C_2S$ 를 제조하였다. 이 때 기조된  $C_2S$ 는 free  $\text{CaO}$  분석과 XRD 회결분석을 하여 확인하였다.

클링커 melt는 Lea & Parker<sup>5)</sup>가 제시한  $\text{CaO-SiO}_2$ - $\text{Al}_2\text{O}_3$ - $\text{Fe}_2\text{O}_3$ 계에서의 eutectic 조성인  $\text{CaO}:54.8\%$ ,  $\text{SiO}_2:6.0\%$ ,  $\text{Al}_2\text{O}_3:22.7\%$ ,  $\text{Fe}_2\text{O}_3:16.5\%$ 의 비율로 혼합된 시료를 백금접시에 넣고  $1450^{\circ}\text{C}$ 에서 3시간 용융시킨 후 전기로 밖으로 끼면 즉시 빙수욕에서 내용물이 젖지 않도록 금방시켜 생성된 glass를 분쇄하여 사용하였고 얻어진 glass 질은 XRD 회결분석으로 결정질의 유무를 확인하였으며 그 결과는 Fig. 1과 같다.

## 2.2 Wetting 측정

$\text{C}_3\text{S}$  생성반응 중  $\text{K}_2\text{SO}_4$ 가  $\text{C}_2\text{S}$ 에 대한 wetting 여부를 Leitz 사의 고온현미경으로 관찰하였다.

시편제작은 고온현미경 시편제조용 mold로  $\gamma$ - $C_2S$ 를  $500\text{kg}/\text{cm}^2$  압력으로 molding하고 성형된  $\text{C}_2S$  지면위에  $\text{K}_2\text{SO}_4$ 를 올려 놓고 같은 방법으로  $500\text{kg}/\text{cm}^2$  압력을 가한 시편을  $10^{\circ}\text{C}/\text{min}$ 으로 승온시키면서  $\text{K}_2\text{SO}_4$ 가 용융될 때  $\text{C}_2S$ 와의 wetting 여부를 측정하였다.

## 2.3 $\text{C}_3\text{S}$ 생성반응 실험

$\text{C}_3\text{S}$ 의 생성반응에 있어서  $\text{K}_2\text{SO}_4$ 와  $\text{CaSO}_4$ 가 미치는 영향을 관찰하기 위해  $\text{C}_2S$ ,  $\text{CaO}$ , 클링커 melt로 조합된 시료에  $\text{K}_2\text{SO}_4$ 와  $\text{CaSO}_4$ 를  $\text{SO}_3$  기준으로 각각 0, 2.0, 4.0, 6.0 wt% 첨가하여 Table 1과 같이 7개의 시료를 조합하였다. 또한  $500\text{kg}/\text{cm}^2$ 의 압력으로 시편을 성형하여  $1250^{\circ}\text{C}$ - $1450^{\circ}\text{C}$ 까지  $50^{\circ}\text{C}$  간격으로 30분씩 소성하여 free  $\text{CaO}$ ,  $\text{SO}_3$  함량 분석을 하였고 생성된 광물을 확인하기 위하여 XRD 회결분석, 반사현미경, SEM과 EDAX를 이용하여 원소분석을 하였다.

## 2.4 Si의 확산계수 및 활성화에너지 계산

Table 1에서의 No. 1, 2, 3, 4 시료를 소결하여 시편 평균입자 반경이  $15\text{ }\mu\text{m}$ 이 되도록 분쇄한 후  $1350^{\circ}\text{C}$ ,  $1400^{\circ}\text{C}$ ,  $1450^{\circ}\text{C}$ 에서 각각 30분 소성하여 얻은 클링커의 free  $\text{CaO}$  함량을 분석하여 Kondo와 Choi의 depth of dissolved layer<sup>6)</sup>에 의한 방법으로 Si의 확산계수를 계산하였다.

$$D = \frac{(1 - \sqrt[4]{1-\alpha})^2 r_0^2}{2 \cdot \Delta c \cdot t}$$

참고

D: Si의 확산계수

$\alpha$ : 반응율  $(1 - \frac{\text{wt \% free CaO}}{\text{wt \% total CaO}})$

$r_0$ : 처음 입도의 평균 반경

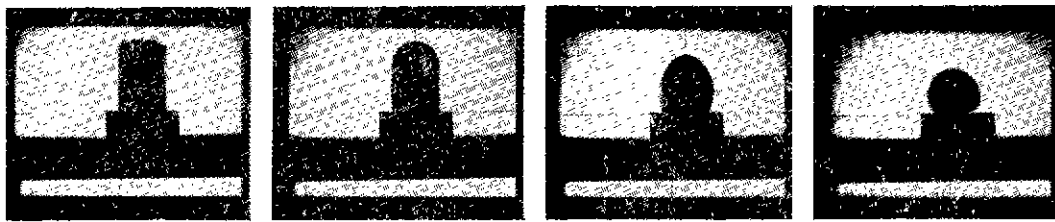
$\Delta c$ :  $\text{CaO}$ 의  $\text{C}_2S$  경계면에서 Si의 농도 차

t: 시간

Table 1. Chemical composition of samples.

(Unit: wt %)

Sample No.	$\text{C}_2S$	CaO	melt	$\text{K}_2\text{SO}_4$	$\text{CaSO}_4$	Remark
1	56.58	18.42	25.00	0		$\text{SO}_3: 0\%$
2	54.12	17.62	23.91	4.35		2.0%
3	51.66	16.82	22.82	8.70		4.0%
4	49.20	16.02	21.74	13.05		6.0%
5	55.45	16.65	24.50		3.40	2.0%
6	54.32	14.88	24.00		6.80	4.0%
7	53.18	13.12	23.50		10.20	6.0%

Fig. 2. Heating micrographs of C<sub>2</sub>S specimen with K<sub>2</sub>SO<sub>4</sub>.

이에 축정된 Si의 화산계수의 응도에 대한 변화율로부터 Arrhenius식을 적용하여 SO<sub>3</sub> 함량변화에 의한 활성화에너지를 계산하였다.

### 3. 실험결과

#### 3. 1 K<sub>2</sub>SO<sub>4</sub> 와 C<sub>2</sub>S의 wetting

C<sub>2</sub>S와 K<sub>2</sub>SO<sub>4</sub> 사이의 wetting 여부를 축정하기 위한 고온현미경 사진은 Fig. 2와 같다.

C<sub>2</sub>S 위에 molding 시켜 올려놓은 K<sub>2</sub>SO<sub>4</sub>는 1000°C 가 지나면서 수축이 시작되었고 1050°C 부터는 용융이 시작되었다. 이에 용융되는 K<sub>2</sub>SO<sub>4</sub>는 C<sub>2</sub>S에 wetting 되지 않으면서 휘발해 버린 것으로 나타났다.

#### 3. 2 C<sub>2</sub>S 생성반응에 미치는 K<sub>2</sub>SO<sub>4</sub> 와 CaSO<sub>4</sub>의 영향

Table 1의 시료를 조성하여 free CaO 및 SO<sub>3</sub>를 분석한 결과는 Table 2, Table 3과 같다.

Table 2에서 K<sub>2</sub>SO<sub>4</sub> 첨가시 free CaO 함량은 전체적으로 응도상승에 따라 감소하였다. 그런데 K<sub>2</sub>SO<sub>4</sub> 첨가량 변화에 따른 free CaO의 변화는 거의 없는 것으로 보아 K<sub>2</sub>SO<sub>4</sub>는 C<sub>3</sub>S 생성에 영향이 거의 없다고 할 수 있다. 그러나 CaSO<sub>4</sub>가 첨가된 경우에는 CaSO<sub>4</sub>의 함량이 증가된 경우 소결온도가 높아져도 free CaO는 감

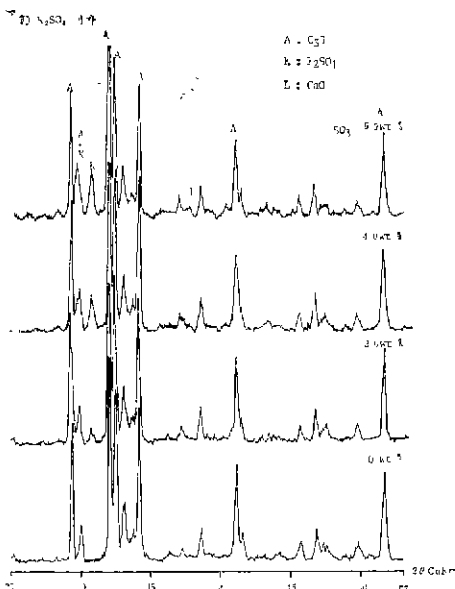
Table 2. The amount of free CaO in the clinker with K<sub>2</sub>SO<sub>4</sub> and CaSO<sub>4</sub>.  
(Unit: wt %)

Temp. Sample No.	1,250	1,300	1,350	1,400	1,450
1	17.81	17.53	9.73	1.91	0.97
2	17.72	16.75	7.21	1.84	1.38
3	16.43	15.49	9.27	1.92	1.47
4	15.77	14.68	7.64	1.98	1.49
5	18.86	17.30	15.15	6.33	3.40
6	17.31	13.85	11.88	8.86	9.79
7	15.64	14.92	10.89	9.36	9.56

Table 3. The amount of SO<sub>3</sub> in clinker with K<sub>2</sub>SO<sub>4</sub> and CaSO<sub>4</sub>.  
(Unit: wt %)

Temp. Sample No.	1,250	1,300	1,350	1,400	1,450
1	Tr	Tr	Tr	Tr	Tr
2	2.0	2.0	1.9	1.8	1.8
3	4.1	4.0	3.9	3.9	3.8
4	6.0	6.0	5.9	6.0	5.8
5	2.0	2.0	1.8	1.9	1.6
6	3.9	3.8	3.7	3.8	3.5
7	5.9	5.8	5.6	5.7	5.4

소되지 않고 있다. 즉 C<sub>3</sub>S의 생성이 억제되고 있는 것으로 볼 수 있다.

Fig. 3. XRD patterns of clinker with K<sub>2</sub>SO<sub>4</sub>.

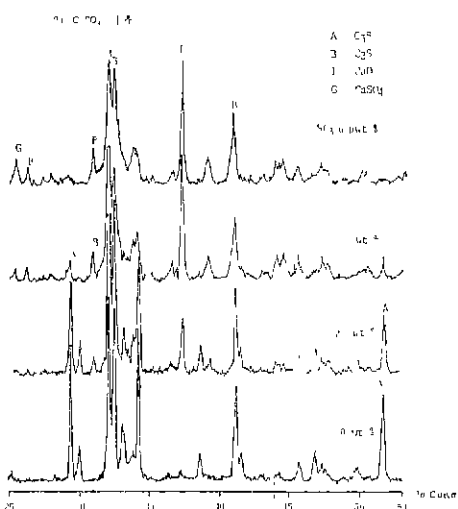
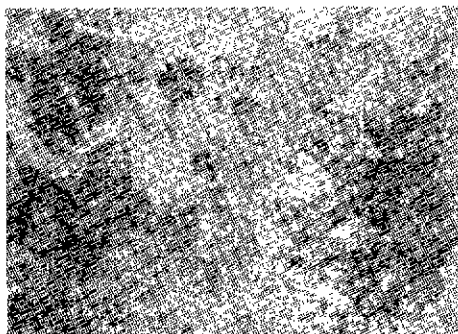
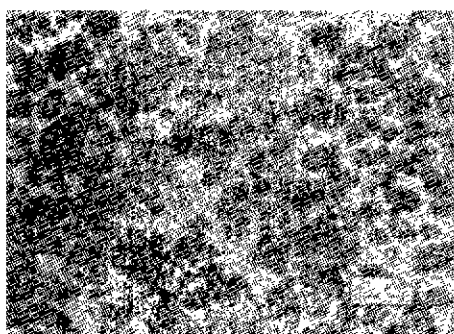
Fig. 4 XRD patterns of clinker with  $\text{CaSO}_4$ .

Fig. 5 (a) Optical micrographs of clinker without sulphate.

Fig. 5 (b) Optical micrographs of clinker with  $\text{K}_2\text{SO}_4$  ( $\text{SO}_3$  4.0 wt. %).Fig. 5 (c) Optical micrographs of clinker with  $\text{CaSO}_4$  ( $\text{SO}_3$  4.0 wt. %).

따라서 이 경우는 XRD 회절분석하여 얻은  $\text{C}_2\text{S}$ , free  $\text{CaO}$ ,  $\text{C}_3\text{S}$  등 회절도는 Fig. 3, Fig. 4와 같다.

Fig. 3에서  $\text{K}_2\text{SO}_4$  첨가시  $\text{C}_3\text{S}$ 의 결정이 잘 발달하고 free  $\text{CaO}$ 의 peak는 찾아 볼 수 없었던 점은 free  $\text{CaO}$  함량 분석과 잘 일치하고 있다. 그러나, Fig. 4에서  $\text{CaSO}_4$ 를 첨가한 경우  $\text{SC}_3$  함량 증가에 따라 미반응된  $\text{C}_2\text{S}$ 와 free  $\text{CaO}$ 의 peak가 증가하고 있었으며  $\text{C}_3\text{S}$ 의 peak는 점차 작아지고 있었다.

이들 쿠링 커먼 1450 °C에서 30분 소성한 것을 반사 현미경으로 관찰한 사진은 Fig. 5와 같다.

Fig. 5의 (a)와 (b)는  $\text{SO}_3$ 가 첨가 안 된 경우와  $\text{K}_2\text{SO}_4$ 만 첨가된 경우로 모두  $\text{C}_3\text{S}$ 의 결정이 잘 발달되었고, free  $\text{CaO}$ 나  $\text{C}_2\text{S}$ 는 역시 발견되지 않았다.

(c)는  $\text{CaSO}_4$ 가  $\text{SO}_3$  기준으로 4.0 wt % 첨가되었을 때의 사진으로  $\text{C}_3\text{S}$ 는 생성되지 않았으나 대신에  $\text{C}_2\text{S}$  주위에 reaction rim을 발견할 수 있었으며 free  $\text{CaO}$ 도 미반응된 상태로 그대로 남아 있었다.

### 3.3 Si의 확산계수 및 활성화에너지

Kondo & Choi의 depth of dissolved layer에 의한 방법으로  $\text{SO}_3$  함량 및 온도 변화에 따른 Si의 diffusion coefficient를 계산한 결과는 Table 4와 같다.

Table 4. (a) Calculation of diffusion coefficient (Free  $\text{CaO}$ ).

(unit: wt. %)

$\text{SO}_3$ % \ Temn.	0	2.0	4.0	6.0
1350 °C	6.1	7.0	7.3	7.3
1400 °C	3.0	3.3	3.0	3.2
1450 °C	1.1	1.3	1.3	1.2
Total $\text{CaO}$	68.96	66.00	63.03	60.06

**Table 4. (b) Calculation of diffusion coefficient(Reaction ratio).**

$$\alpha = 1 - \frac{\% \text{ free CaO}}{\% \text{ Total CaO}}$$

Temp.	0	2.0	4.0	6.0
1350 °C	0.91	0.89	0.88	0.88
1400 °C	0.96	0.95	0.95	0.95
1450 °C	0.98	0.98	0.98	0.98

**Table 4. (c) Calculation of diffusion coefficient of Si.**

$$D = 6.25 \times 10^{-7} \times (1 - \sqrt[3]{1 - \alpha})^2$$

(Unit:  $\text{x} 10^{-7} \text{ cm}^2/\text{sec}$ )

Temp.	0	2.0	4.0	6.0
1350 °C	1.92	1.73	1.64	1.59
1400 °C	2.63	2.49	2.54	2.43
1450 °C	3.50	3.33	3.29	3.32

#### 4. 고찰

Gutt & Smith<sup>7,8)</sup>는 SO<sub>3</sub>가 첨가될 때 C<sub>3</sub>S의 생성 및 분해에 대한 연구에서 CaSO<sub>4</sub>가 첨가될 때 CaSO<sub>4</sub>는 C<sub>3</sub>S 보다 C<sub>2</sub>S의 안전영역을 넓혀주어 C<sub>3</sub>S 생성이 억제된다고 보고 하였으며 MgO는 이런 현상을 억제하는 효과가 있다고 하였다.

그러나 Akhmedov<sup>9)</sup> 등은 CaSO<sub>4</sub>가 C<sub>2</sub>S 주위에 reaction rim을 형성하여 C<sub>2</sub>S와 CaO의 반응을 차단하여 C<sub>3</sub>S의 생성을 억제한다고 보고하였으나 Gutt & Smith<sup>8)</sup>는 이런 reaction rim을 발견하지 못하였다고 하였다.

본 실험은 이런 상반된 의견과 Glasser<sup>10)</sup>가 보고한 oxide melt와 sulphate liquid의 immiscible 이론을 근거로 SO<sub>3</sub>의 역할을 다음과 같은 두 가지 반응 model을 설정하여 설명하고자 한다.

Fig. 6의 A, B 어떤 model도 SO<sub>3</sub>와 클링커 melt는

서로 섞이지 않고 분리된 상태로 존재하고 있으나 A model에서는 SO<sub>3</sub>가 C<sub>2</sub>S와 wetting 되지 않아서 독립된 상태로 존재하는 반면, B model에서는 SO<sub>3</sub>가 C<sub>2</sub>S에 wetting 되어 rim의 형태로 존재하고 있다.

C<sub>3</sub>S의 생성과정은 앞에서 언급했듯이 초기 생성된 C<sub>2</sub>S가 클링커 melt에 용해 확산되어 CaO와 반응하여 제출될다고 볼 때 A model에서는 SO<sub>3</sub>가 클링커 melt와 무관하게 존재하므로 C<sub>3</sub>S의 생성에 영향을 미치지 않게 되지만, B model에서는 SO<sub>3</sub>가 C<sub>2</sub>S 주위를 둘러싸서 rim을 형성함으로써 C<sub>2</sub>S가 클링커 melt에 용해작용을 억제하고 있으므로 C<sub>3</sub>S의 생성이 억제된다고 볼 수 있다.

고온현미경으로 K<sub>2</sub>SO<sub>4</sub>와 C<sub>3</sub>S의 wetting을 관찰한 Fig. 2의 사진에서 볼 때 K<sub>2</sub>SO<sub>4</sub>는 C<sub>2</sub>S와 전혀 wetting되지 않고 있으며 Glasser<sup>10)</sup>의 보고서처럼 클링커 melt와 섞이지도 않는다는 가정에서 보면 A model의 경우처럼 C<sub>3</sub>S의 생성을 억제하지 않는 것으로 판단된다.

Table 2의 free CaO 분석치와 Fig. 3의 XRD 회절도를 보아도 K<sub>2</sub>SO<sub>4</sub>에 의한 C<sub>3</sub>S의 생성은 빌트변화가 없으며, Fig. 5(b)의 No. 3 시료에 대한 반사현미경 사진을 보아도 C<sub>3</sub>S의 결정발달은 양호함을 확인할 수 있으므로 K<sub>2</sub>SO<sub>4</sub>는 Fig. 6의 반응 model 중 A의 경우로 설명이 가능하다. 그러나 CaSO<sub>4</sub>가 첨가된 경우는 K<sub>2</sub>SO<sub>4</sub> 첨가와 상황이 다르게 전개된다.

CaSO<sub>4</sub>의 첨가량 증가에 따라 free CaO가 급격히 증가하고 있으며 Fig. 4의 XRD 회절도에서도 역시 CaSO<sub>4</sub> 함량 증가에 따라 C<sub>3</sub>S의 생성이 둔화되고 미반응된 free CaO와 C<sub>2</sub>S의 peak가 그대로 남아 있었다. 또한 Fig. 5(C)의 No. 6 시료의 반사현미경 사진에서 C<sub>3</sub>S의 결정은 전혀 찾아 볼 수 없었으며 C<sub>2</sub>S 위자 주위에서 rim을 발견할 수 있었다.

이 rim은 Akhmedov<sup>9)</sup>가 주장했던 reaction rim인 것으로 예상되며 이 rim이 C<sub>3</sub>S의 생성을 방해한 것으로

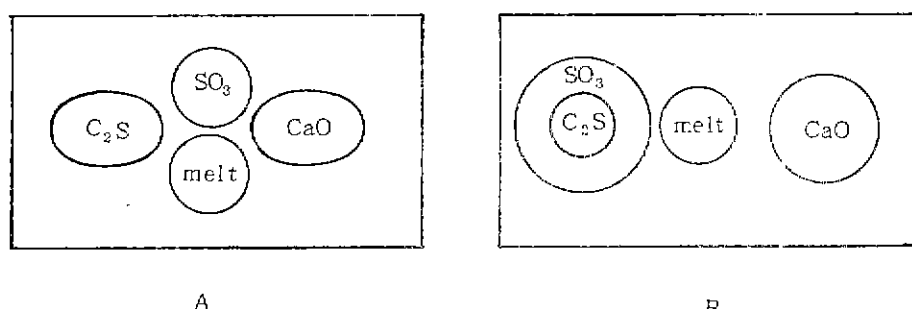
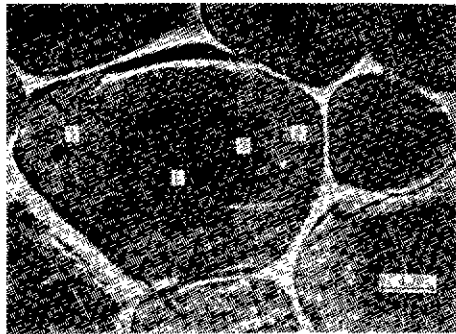


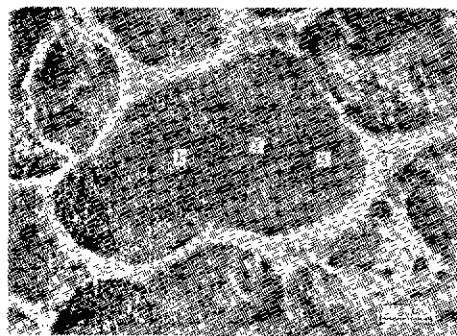
Fig. 6 Imaginary immiscible reaction model between clinker melt and sulphate liquid.



EDAX Data

	Point 1	Point 2	Point 3	Point 4
CaO	62.80	63.34	58.99	47.92
SiO <sub>2</sub>	30.10	26.90	28.59	4.85
Al <sub>2</sub> O <sub>3</sub>	29.3	3.38	4.72	22.44
Fe <sub>2</sub> O <sub>3</sub>	1.34	1.58	2.12	10.10
SO <sub>3</sub>	2.83	4.80	5.57	14.71

Fig. 7 (a) Scanning electron micrographs and EDAX analysis data of C<sub>2</sub>S with CaSO<sub>4</sub> (SO<sub>3</sub> 4.0 wt. %).



EDAX Data

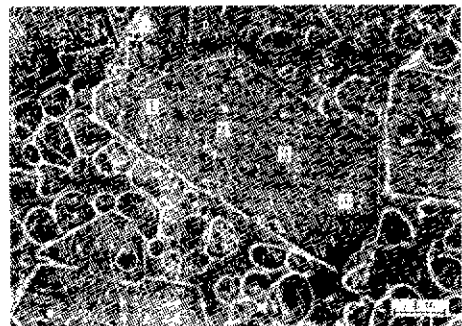
	Point 1	Point 2	Point 3	Point 4
CaO	64.42	60.57	53.20	52.05
SiO <sub>2</sub>	25.59	26.79	26.72	3.49
Al <sub>2</sub> O <sub>3</sub>	3.56	4.39	4.90	11.47
Fe <sub>2</sub> O <sub>3</sub>	2.05	2.06	2.72	10.75
SO <sub>3</sub>	4.39	6.19	7.46	22.24

Fig. 7 (b) Scanning electron micrographs and EDAX analysis data of C<sub>2</sub>S with CaSO<sub>4</sub> (SO<sub>3</sub> 6.0 wt. %).

로 추측된다. 이것을 더욱 명확히 규명하기 위해 Table 1의 No. 1, No. 7의 조성을 가진 시료를 1450 °C에서 30분씩 소성하여 얻은 클링커를 SEM으로 관찰하고 EDAX로 원소분석한 결과는 Fig. 7과 같다.

Fig. 7의 (a), (b) 어느 경우에도 C<sub>2</sub>S의 생성은 나타나지 않았으나 C<sub>2</sub>S 주위에 대하여 원소분석한 결과 SO<sub>3</sub>의 함량은 내부에서 외부로 옮겨감에 따라 증가함을 알 수 있었다. Fig. 7(a) 클링커의 point 1에서는 SO<sub>3</sub>가 2.83 wt. %, 중간에서는 4.80 wt. %였으나 가장자리에서는 5.57 wt. %로 높아 졌으며 액상성분인 point 4는 SO<sub>3</sub>가 14.71 wt. %로 상당히 높게 나타났다.

Fig. 7 (b) 클링커 역시 Fig. 7(a)와 마찬가지로 SO<sub>3</sub>는 가장자리로 갈수록 높게 나타났다. Fig. 7(a) 클링커에서 rim에 해당하는 point 3의 원소분석 결과를 보면 Akhmedov<sup>9)</sup>가 제시한 (C<sub>2</sub>S)<sub>n</sub>·CaSO<sub>4</sub>의 rim에 있어  $n=6\sim 7$  수준이고 Fig. 7(b) 클링커의 point 3에서는  $n=4\sim 5$  이었다. 이는 SO<sub>3</sub> 함량이 증가하면 (C<sub>2</sub>S)<sub>n</sub>·CaSO<sub>4</sub>에서 CaSO<sub>4</sub>의 농도가 증가하고 있음을 보여주는 것이다. 그러나 CaSO<sub>4</sub> 첨가량을 상당히 증가시켰을 때  $n$  값이 연속적으로 변할 것인가에 대한 앞으로의 연구 점토가 요망된다. 한편 C<sub>2</sub>S에서 SO<sub>3</sub>의 분포를 측정하기 위해 No. 6의 시료에 MgO를 2.0 wt. % 첨가하여 1450 °C에서 30분 소성시켜 C<sub>2</sub>S가 소량 생성되게 한



EDAX Data

	Point 1	Point 2	Point 3	Point 4
CaO	69.59	72.35	70.74	70.81
SiO <sub>2</sub>	25.04	23.84	24.50	24.63
Al <sub>2</sub> O <sub>3</sub>	1.72	1.53	1.68	1.33
Fe <sub>2</sub> O <sub>3</sub>	0.60	0.88	0.75	0.94
MgO	1.53	0.48	0.95	1.01
SO <sub>3</sub>	1.51	0.92	1.37	1.28

Fig. 8 Scanning electron micrographs and EDAX analysis data of C<sub>2</sub>S with CaSO<sub>4</sub> (SO<sub>3</sub> 6.0 wt. %) and MgO (2.0 wt. %).

다음 생성된 C<sub>2</sub>S 결정에 대해 원소분석을 하였으나 이 경우 Fig. 8과 같이 SO<sub>3</sub>가 C<sub>2</sub>S 내부에서 위치에 관계

없이 전반적으로 고르게 분포하고 있었으며 그 함량은 C<sub>2</sub>S의 경우에 비해 월등히 낮은 1~2 wt. % 내외였다.

이런 사실을 종합하여 볼 때 SO<sub>3</sub>는 C<sub>3</sub>S보다 C<sub>2</sub>S에 농축되며 C<sub>2</sub>S의 가장자리에서 (C<sub>2</sub>S)<sub>n</sub>·CaSO<sub>4</sub>의 reaction rim을 형성하고 있는 사실을 확인할 수 있으니 이 reaction rim은 C<sub>2</sub>S와 CaO의 반응을 억제하는 장애요소로 C<sub>3</sub>S의 생성을 억제하고 있었다.

또한 이 reaction rim은 Fig. 4의 XRD 회절도를 볼 때 C<sub>2</sub>S와 CaSO<sub>4</sub>의 peak가 각각 독자적으로 나타나고 C<sub>2</sub>S의 결정반달도 미흡한 점으로 보아 일정한 화합물이라기 보다 C<sub>2</sub>S와 CaSO<sub>4</sub>의 혼합물 형태를 이루고 있으니 이 reaction rim은 매우 불안정한 상태로 존재하고 있는 것으로 판단된다.

이와같이 K<sub>2</sub>SO<sub>4</sub>와 CaSO<sub>4</sub>의 C<sub>3</sub>S 생성에 미치는 영향을 각각 비교 고찰해 볼 때 K<sub>2</sub>SO<sub>4</sub>는 Fig. 6의 반응model 중 A model, CaSO<sub>4</sub>는 B model의 경우에 해당된다고 볼 수 있다.

CaO와 C<sub>2</sub>S의 액상을 통한 확산에 의해 일어지는 C<sub>3</sub>S의 확산기구에 대해서는 많은 학자들이 연구하였다.<sup>6,10,11,12)</sup>

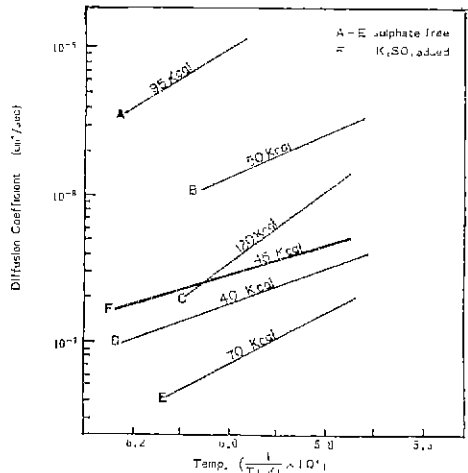
본 실험에서는 Kondo & Choi의 방법으로 K<sub>2</sub>SO<sub>4</sub> 첨가 SO<sub>3</sub> 함량 및 온도변화에 따른 Si의 확산계수 및 활성화에너지률 계산하여 일온 결과가 Table 4 인데 이들로부터 Arrhenius식에 적용시켜 SO<sub>3</sub> 함량변화에 대한 C<sub>3</sub>S의 생성에 필요한 활성화에너지률 구하여 Table 5에 표시하였다.

이 때 본 실험에서 일어진 Si의 확산계수 및 활성화에너지는 SO<sub>3</sub> 함량변화에 따라 일어진 값이며 이를 다른 연구자들이 구한 결과와 비교하여 Fig. 9에 표시하였다.

K<sub>2</sub>SO<sub>4</sub>의 SO<sub>3</sub> 함량변화에 따른 Si의 diffusion Coefficient는 거의 일정하고 활성화에너지도 약 40 kcal/mol로 거의 일정한 것으로 보아 K<sub>2</sub>SO<sub>4</sub>의 첨가량 증감은 C<sub>3</sub>S의 생성역제 역할을 하지 않는다는 사실을 재확인할 수 있었다.

Table 5. Activation energy of C<sub>3</sub>S formation in the clinker with K<sub>2</sub>SO<sub>4</sub>. (Kcal/mol)

wt. % SO <sub>3</sub>	0	2.0	4.0	6.0
(- $\frac{Q}{2.30 R}$ )	-8205	-9316	-9777	-9825
Q(Kcal/mol)	38	43	45	45



- A: 95Kcal: Souquer, Deportes Bessen in 2SiO<sub>2</sub>·Na<sub>2</sub>O
- B: 50Kcal: Kondo, Choi in 23Al<sub>2</sub>O<sub>3</sub>·16Fe<sub>2</sub>O<sub>3</sub>·55CaO·6SiO<sub>2</sub>
- C: 120Kcal: Kondo, Choi in 23Al<sub>2</sub>O<sub>3</sub>·16Fe<sub>2</sub>O<sub>3</sub>·55CaO·6SiO<sub>2</sub>
- D: 40Kcal: Myesin, Esin in 20Al<sub>2</sub>O<sub>3</sub>·40CaO·40SiO<sub>2</sub>
- E: 70Kcal: Towers, Chipican in 20Al<sub>2</sub>O<sub>3</sub>·40CaO·40SiO<sub>2</sub>
- F: 45Kcal: Byung chul, Park in 63.0 CaO·19.4SiO<sub>2</sub>·5.2Al<sub>2</sub>O<sub>3</sub>·3.8Fe<sub>2</sub>O<sub>3</sub> 8.7K<sub>2</sub>SO<sub>4</sub>

Fig. 9 Diffusion coefficient of Si vs. temp. and activation energy for various cases.

## 5. 결 론

1) C<sub>3</sub>S 생성반응에서 K<sub>2</sub>SO<sub>4</sub>를 첨가할 때 free CaO 함량은 SO<sub>3</sub> 함량에 관계없이 거의 일정하게 나타나며 C<sub>3</sub>S의 양도 큰 변화가 없었다.

2) CaSO<sub>4</sub> 첨가할 때 SO<sub>3</sub>가 4.0 wt. % 이상되면 free CaO 함량은 급격히 증가되며, C<sub>3</sub>S는 SO<sub>3</sub> 함량증가에 따라 감소하고 결정 반달상태도 불량하게 나타나고 있다.

3) Si의 확산계수 및 C<sub>3</sub>S 생성에 필요한 활성화에너지도 K<sub>2</sub>SO<sub>4</sub> 함량에 관계없이 거의 일정하게 나타나고 있으며 활성화에너지는 대략 40 kcal/mol 정도이다.

4) CaSO<sub>4</sub>를 첨가할 때 C<sub>2</sub>S 주위에 SO<sub>3</sub>가 농축되어서 reaction rim을 형성하여 C<sub>3</sub>S의 생성을 억제한다. 또한 reaction rim 즉 (C<sub>2</sub>S)<sub>n</sub>·CaSO<sub>4</sub>에서 n값은 SO<sub>3</sub> (CaSO<sub>4</sub>)가 4.0 wt. %인 경우에는 6~7이었고 6.0 wt. %인 경우에는 4~5 수준이었다. 또한 SO<sub>3</sub> 첨가량이 증가함에 따라 reaction rim의 SO<sub>3</sub> 농도가 증가하였으며, XRD 분석결과로 보아 이 rim은 조성비가 일정한 화합물이라기 보다는 C<sub>2</sub>S와 CaSO<sub>4</sub>의 혼합물 형태로 존재하고 있다고 볼 수 있다.

## References

- 1) Budnikov, P. P. and Kroichuk L. A., Zh. Vses. Khim. Obshchestva im. D. I. Mondeleeva, **10**, (5) 545 (1965).
- 2) Bucci R., "Influence of the Nature and Preparation of raw materials of the reactivity of raw mix", Int. Sym. Chem., 7th. Vol. 1, (1980).
- 3) Timashev V. V., "The kinetics of clinker and its phases", 7th Int. Congr. Chem. Cem. Vol. 1 (1980).
- 4) Glasser, F. P., Marr J., "Sulphates in cement Clinkering immiscibility between Sulphate and oxide melts at 1350°C", *Cem. Conc. Res.* **1**. 10 753-758 (1980).
- 5) Lea F. M., "The chemistry of cement and concrete", 3rd Ed. (1970).
- 6) Kondo R., Choi S. H., "Mechanisms and kinetics of portland cement clinker formation for a example of the solid state reaction in the presence of a liquid phase," 5th. Inter. Symp. Chem. Cem.
- 7) Gutt W., Smith M. A., "Studies of Role of calcium Sulphate in the manufacture of portland cement Clinker", *Trans J. Brif. Ceram. Soc.*, **67**(10) 487-509 (1968).
- 8) Gutt W., Smith M. A., "Studies of Sulphates in Portland Cement Clinker", *cem. Technol.* **2** 143-151 (1971).
- 9) Akhmedov M. A., Rogozina T. A., Surovkin V. M., Kelganov B. A., *Uzbeksk Khim Zh.*, **10**(5) 8 (1967).
- 10) Christensen N. H., Jepsen O. L., Johansen V., "Rate of alite formation in clinker Sandwiches", *Cem. Concr. Res.* **8**(6) 693-701 (1978).
- 11) Johansen V., "Model for reaction between CaO particles and portland cement clinker," *J. Am. Ceram. Soc.* **56**(9) 450-454 (1973).
- 12) Christensen N. H., Jepson O. L., "Diffusion in three component cement clinkers", *J. Am. Ceram. Soc.* **54**(4) 208-210 (1971).